



دانشگاه تبریز

دانشکده مهندسی فناوریهای نوین

گروه مهندسی نانوالکترونیک

پایان نامه

برای دریافت درجهٔ کارشناسی ارشد در رشته مهندسی نانوالکترونیک

عنوان

طراحی آشکار ساز نور UV با استفاده از تزریق نانوذرات سیلیکون در لایه اکسید SiO_2 ، با استفاده از ساختار فلز-اکسید-نیمه هادی

اساتید راهنمای

دکتر علی رستمی

دکتر کریم عباسیان

اساتید مشاور

دکتر غلامرضا کیانی

دکتر حسن رسولی

پژوهشگر

محمدمهردی عباسی

تیر ماه ۱۳۹۱

بِسْمِ اللَّهِ الرَّحْمَنِ الرَّحِيمِ

| |
|--|
| نام خانوادگی دانشجو: عباسی عنوان پایان نامه: طراحی آشکارساز نور UV با استفاده از تزریق نانو ذرات سیلیکون در لایه اکسید ساختار فلز- اکسید- نیمه هادی اساتید راهنمای: دکتر علی رستمی- دکتر کریم عباسیان اساتید مشاور: دکتر غلامرضا کیانی - دکتر حسن رسولی مقطع تحصیلی: کارشناسی ارشد رشته: مهندسی نانوفناوری گرایش: نانوالکترونیک دانشگاه: دانشگاه تبریز تاریخ فارغ التحصیلی: تیر ماه ۱۳۹۱ تعداد صفحه: ۱۲۸ کلید واژه ها: چاه کوانتموی نقاط کوانتموی جریان تونلی نانو ذرات سیلیکون فلز- اکسید- نیمه هادی تابناکی ضریب اشکارسازی چکیده: در این پایان نامه، برای اولین بار، ساختار یک آشکارساز نور فرابنفش با استفاده از تزریق نانو ذرات سیلیکون، در لایه اکسید از ساختار فلز- اکسید- نیمه هادی، شبیه سازی شده است. ناحیه‌ی فعال این آشکارساز یک ساختار تونلی رزونانسی بر مبنای نقاط کوانتموی کروی سیلیکون می‌باشد. ساختار چند لایه‌ی رزونانس تونلی، به صورت آرایه‌ای از نقاط کوانتموی کروی سیلیکون در لایه اکسید SiO_2 در ساختار فلز- اکسید- نیمه هادی می‌باشد. در این پایان نامه تونل زنی حامل‌ها از درون آرایه‌ای از نقاط کوانتموی کروی سیلیکون در لایه اکسید SiO_2 به صورت کامل بررسی شده و ضریب جذب بین باندی در نقاط کوانتموی سیلیکون، به صورت تابعی از انرژی فوتون تابشی، شبیه سازی شده است. برای اولین بار در این آشکارساز از ساختار فلز- اکسید- نیمه هادی برای آشکارسازی نور فرابنفش استفاده شده است. از روش ماتریس انتقال دو بعدی برای بدست آوردن رسانایی و جریان تونل زنی در این ساختار استفاده شده است. اثر |
|--|

ناراستی مرکزی و اندازه آن، روی منحنی رسانایی در بایاس صفر به صورت کامل بررسی شده است.

فهرست مطالب

| | |
|--|-----------|
| عنوان..... | صفحه..... |
| فهرست مطالب..... | ۵..... |
| فهرست جداول..... | ۱۰ |
| مقدمه | ۱۲..... |
| ۱- بررسی منابع و پیشینه تحقیق | ۱۴..... |
| ۱-۱ پرتو فرابنفش | ۱۵..... |
| ۱-۲ تاریخچه ای برآشکارسازهای UV | ۱۵..... |
| ۱-۳ منابع فرابنفش | ۱۶..... |
| ۱-۴ کاربردهای امواج فرابنفش | ۱۶..... |
| ۱-۵ انواع آشکارسازهای نوری | ۱۷..... |
| ۱-۵-۱ آشکارساز خلا | ۱۷..... |
| ۱-۵-۲ آشکارساز چند برابرکنندهی نوری | ۱۹..... |
| ۱-۵-۳ نور رسانا | ۲۰..... |
| ۱-۵-۴ آشکارساز با استفاده از پیوند p-n | ۲۲..... |
| ۱-۵-۵ آشکارساز با استفاده از پیوند p-i-n | ۲۳..... |
| ۱-۵-۶ آشکارسازنوری بهمنی | ۲۵..... |
| ۱-۵-۷ آشکارساز چاه کوانتمومی | ۲۵..... |
| ۱-۵-۸ آشکارسازی با استفاده از نانوسيمها | ۲۶..... |
| ۱-۶ نيم رساناها | ۲۷..... |

| | |
|---|----|
| ۱-۶-۱ پیوند نیمه‌رسانا- نیمه‌رسانا | ۲۷ |
| ۱-۶-۱-۱ پیوند هم جنس | ۲۷ |
| ۱-۶-۱-۲ پیوند نا همجنس | ۲۸ |
| ۱-۶-۱-۳ پیوند فلز-نیمه‌رسانا | ۲۹ |
| ۱-۶-۱-۴ حالت شاتکی | ۲۹ |
| ۱-۶-۱-۵ حالت اهمی | ۳۰ |
| ۱-۶-۱-۶ آشکارسازهای سیلیکونی | ۳۰ |
| ۱-۶-۱-۷ آشکارساز سیلیکونی مبتنی بر تبدیل نوری-فرکانسی | ۳۱ |
| ۱-۶-۱-۸ آشکارساز سیلیکونی مبتنی بر عملکرد ترانزیستور- نوری | ۳۳ |
| ۱-۶-۱-۹ تونلینگ کوانتمی و اثر کلومب بلاکت روی نانو ذرات سیلیکون در لایه SRO | ۳۷ |
| ۱-۶-۱-۱۰ مبانی و روش‌ها | ۴۴ |
| ۱-۶-۱-۱۱ مقدمه | ۴۵ |
| ۱-۶-۱-۱۲ روش عددی تفاضل محدود | ۴۶ |
| ۱-۶-۱-۱۳ چاه کوانتمی | ۴۷ |
| ۱-۶-۱-۱۴ تعریف چاه کوانتمی | ۴۷ |
| ۱-۶-۱-۱۵ اعمال میدان الکتریکی به ساختار چاه کوانتمی | ۴۸ |
| ۱-۶-۱-۱۶ اثر اشتارک | ۵۰ |
| ۱-۶-۱-۱۷ ساختار متشکل از دو چاه کوانتمی | ۵۱ |
| ۱-۶-۱-۱۸ معادله پواسون | ۵۲ |
| ۱-۶-۱-۱۹ حل معادله شرودینگر دو بعدی(سیم کوانتمی) | ۵۵ |
| ۱-۶-۱-۲۰ نقطه کوانتمی | ۵۸ |
| ۱-۶-۱-۲۱ روش‌های محاسبه‌ی ساختار الکترونیکی | ۵۹ |

| |
|--|
| ۱-۶-۲ روش تابع چگالی (DFT) ۶۱ |
| ۲-۶-۲ روش رایلی - ریتز ۶۱ |
| ۳-۶-۲ روش تقریب جرم موثر ۶۲ |
| ۷-۲ لایه و تینگ ۶۲ |
| ۸-۲ حالت های محدود شده در دیوارها، سیم ها و نقاط کوانتومی ۶۳ |
| ۹-۲ حل معادله شرودینگر سه بعدی (نقطه کوانتومی) ۶۴ |
| ۱۰-۲ نقطه کوانتومی مکعبی (جعبه کوانتومی) ۶۴ |
| ۱۱-۲ نقطه کوانتومی کروی ۶۶ |
| ۱۲-۲ چگالی حالتها در نقطه کوانتومی کوپل شده با الکترودها ۶۷ |
| ۱۳-۲ آشکارسازی با استفاده از چاه کوانتومی ۶۹ |
| ۱۴-۲ اثر پیزوالکتریک ۷۰ |
| ۱۵-۲ میدان های پیزوالکتریک القا شده در چاه های کوانتومی ۷۲ |
| ۱۶-۲ باندهای انرژی در ساختار کریستالی ۷۳ |
| ۱۷-۲ مدل کرونیگ-پنی ۷۴ |
| ۱۸-۲ اندرکنش نور و ماده ۷۷ |
| ۱۹-۲ نرخ گذار در نتیجه اندرکنش الکترون- فوتون ۸۰ |
| ۲۰-۲ ضریب جذب نوری ۸۱ |
| ۲۱-۲ ضریب جذب بین باندی ۸۳ |
| ۲۲-۲ محاسبه ای ضریب جذب بین باندی در ساختار چاه کوانتومی ۸۵ |
| ۲۳-۲ محاسبه ای ضریب جذب بین باندی در نقطه کوانتومی ۸۶ |
| ۲۴-۲ پارامترهای آشکارساز ۸۷ |
| ۲۵-۲ ضریب جذب نوری ۸۸ |

| | |
|--|-----|
| ۱۵-۲ حل معادله شرودینگر سه بعدی برای نقطه کوانتمی کروی | ۸۹ |
| ۱۵-۲ نرخ استراحت | ۸۹ |
| ۱۵-۲ ضریب جذب نوری بین باندی در نقطه کوانتمی | ۸۹ |
| ۱۵-۲ عنصر ماتریس دو قطبی | ۸۹ |
| ۱۵-۲ بازده کوانتمی در نقاط کوانتمی | ۸۹ |
| ۱۵-۲ ضریب انتقال و رسانایی در آرایه ای از نقاط کوانتمی | ۹۰ |
| ۱۵-۲ بهره‌ی نوری | ۹۰ |
| ۱۵-۲ پاسخ دهی | ۹۰ |
| ۱۵-۲ جریان تاریکی | ۹۱ |
| ۱۵-۲ جریان تاریکی در اشکارسازهای چاه کوانتمی | ۹۱ |
| ۱۵-۲ جریان تاریکی در اشکارسازهای نقطه کوانتمی | ۹۲ |
| ۱۵-۲ جریان نویز | ۹۳ |
| ۱۵-۲ آشکار کنندگی | ۹۳ |
| ۱۵-۲ نتایج شبیه سازی و بحث | ۹۴ |
| ۱-۳ مقدمه | ۹۵ |
| ۳-۲ پارامترهای ساختاری و ماده ای به کار رفته در شبیه سازی | ۹۵ |
| ۳-۳ توابع موج و مقدایر ویژه برای آرایه ای از نقاط کوانتمی کروی سیلیکون در ماتریس اکسید | ۹۶ |
| ۳-۳-۱ ساختار باندی نقطه کوانتمی کروی سیلیکون در ماتریس اکسید | ۹۶ |
| ۳-۳-۲ بررسی توابع موج و ترازهای انرژی در آرایه ای از نقاط کوانتمی کروی سیلیکون در ماتریس اکسید | ۹۷ |
| ۳-۳-۳ در ساختار Al/P-Si/Silicon quantum dots array in silicon oxide layer | ۹۹ |
| ۳-۴ رسانایی و جریان تونلینگ در آرایه ای از نقاط کوانتمی سیلیکون با ناراستی مرکزی در ماتریس اکسید | ۱۰۵ |
| SiO ₂ | |

| | |
|--|-----|
| ۳-۴-۱ نتایج شبیه سازی رسانایی، در آرایه ای از نقاط کوانتمی کروی سیلیکون با شعاع ۲ نانومتر در ماتریس اکسید SiO ₂ | ۱۰۸ |
| ۳-۴-۲ اثر افزایش اندازه ناراستی روی طیف رسانایی در آرایه ای از نقاط کوانتمی سیلیکون در ماتریس اکسید SiO ₂ | ۱۱۷ |
| ۳-۴-۳ جریان تونلینگ در آرایه ای از نقاط کوانتمی کروی سیلیکون در ماتریس اکسید SiO ₂ | ۱۱۸ |
| ۳-۴-۴ ضریب جذب بین باندی، در آرایه ای از نقاط کوانتمی کروی سیلیکون در ماتریس اکسید SiO ₂ | ۱۲۰ |
| ۳-۶ نتیجه گیری | ۱۲۱ |
| ۳-۷ پیشنهادات | ۱۲۲ |

فهرست اشکال

| | |
|---|------|
| عنوان | صفحه |
| شکل ۱ - ۱ طیف امواج الکترومغناطیس..... | ۱۵ |
| شکل ۱ - ۲ آشکارساز بر پایه فوتولکتریک..... | ۱۸ |
| شکل ۱ - ۳ از چپ به راست : مقادیر جریان بر حسب انرژی فوتون، شدت نور تابیده و ولتاژ اعمالی..... | ۱۹ |
| شکل ۱ - ۴ ساختار آشکارساز ضرب کنندهی نوری..... | ۲۰ |
| شکل ۱ - ۵ ساختار آشکارساز نور رسانا..... | ۲۱ |
| شکل ۱ - ۶ آشکار ساز نور رسانا که به صورت شانه ای شکل می باشد | ۲۲ |
| شکل ۱ - ۷ ساختار آشکارساز p-n..... | ۲۳ |
| شکل ۱ - ۸ ساختار آشکار ساز p-i-n..... | ۲۴ |
| شکل ۱ - ۹ ساختار آشکارساز نوری بهمنی..... | ۲۵ |
| شکل ۱ - ۱۰ ساختار آشکارساز فرابینفش با استفاده از چاه کوانتمی..... | ۲۶ |
| شکل ۱ - ۱۱ ساختار نانو سیم ها و نحوهی رشد آن ها..... | ۲۶ |
| شکل ۱ - ۱۲ ساختار باندی دو نیمه رسانا قبل از اتصال..... | ۲۸ |
| شکل ۱ - ۱۳ ساختار باندی فلز (سمت چپ) و ساختار باندی نیمه رسانا (سمت راست) | ۲۹ |
| شکل ۱ - ۱۴ ساختار باندی فلز - نیمه رسانا قبل از اتصال..... | ۳۰ |

| | |
|--|----|
| شکل ۱ - ۱۵ پیوند فلز - نیمه رسانا در حالت اهمی..... | ۳۰ |
| شکل ۱ - ۱۶ جریان تاریکی و رسانایی تفاضلی متناظر با آن به ازای تابعی از ولتاژ اعمالی در شرایط بایاس معکوس. | ۳۲ |
| شکل ۱ - ۱۷ جریان نوری و جریان تاریکی به ازای تابعی از ولتاژ بایاس معکوس. | ۳۲ |
| شکل ۱ - ۱۸ منحنی مربوط به حساسیت پذیری آشکارساز در بایاس ۴ ولت | ۳۳ |
| شکل ۱ - ۱۹ نحوه افزایش حساسیت پذیری به نور فرابنفش. | ۳۳ |
| شکل ۱ - ۲۰ منحنی تابندگی نوری. | ۳۴ |
| شکل ۱ - ۲۱ منحنی جریان - ولتاژ قطعه در شرایط تاریکی | ۳۵ |
| شکل ۱ - ۲۲ واکنش پذیری نوری قطعه به ازای طیف گسترده ای از طول موج ها در بایاس ۵ ولت. | ۳۶ |
| شکل ۱ - ۲۳ ساختار باندی آشکار ساز سیلیکونی. | ۳۶ |
| شکل ۱ - ۲۴ منحنی جریان بر حسب ولتاژ در شرایط بایاس معکوس و مستقیم. | ۳۸ |
| شکل ۱ - ۲۵ منحنی های جریان بر حسب ولتاژ برای زمان های تاخیر متفاوت (A) و جهت های جاروب متفاوت (B). | ۳۹ |
| شکل ۱ - ۲۶ منحنی های خازن و رسانایی بر حسب ولتاژ. | ۴۰ |
| شکل ۱ - ۲۷ چگالی بالای نانو ذرات سیلیکون در لایه SRO | ۴۰ |
| شکل ۱ - ۲۸ شکل گیری مسیر های رسانایی. | ۴۱ |
| شکل ۱ - ۲۹ پرش جریان در ناحیه AB | ۴۲ |
| شکل ۲ - ۱ ساختار چاه کوانتمی با توابع موج و احتمال. | ۴۷ |
| شکل ۲ - ۲ اثرات اعمال میدان بر چاه کوانتمی | ۴۸ |
| شکل ۲ - ۳ تغییرات مقادیر ویژهی پایه با میدان اعمالی | ۵۱ |
| شکل ۲ - ۴ ساختار کوانتمی متشکل از دو چاه کوانتمی | ۵۱ |
| شکل ۲ - ۵ تغییرات مقادیر ویژهی انرژی به صورت تابعی از عرض سد. | ۵۲ |
| شکل ۲ - ۶ دوپینگ ناحیه سد با اتمهای دهنده که موجب جمع شدن الکترون ها در سد می شود.... | ۵۳ |
| شکل ۲ - ۷ میدان الکتریکی ناشی از توزیع بار در درون چاه کوانتمی..... | ۵۳ |
| شکل ۲ - ۸ توزیع چگالی بار سطحی برای یک چاه کوانتمی به ضخامت ۱۰ نانو متر..... | ۵۴ |
| شکل ۲ - ۹ میدان الکتریکیدرون چاه ناشی از توزیع بار..... | ۵۵ |
| شکل ۲ - ۱۰ پتانسیل الکتریکی ناشی از توزیع بار در درون چاه کوانتمی. | ۵۵ |

| | |
|---|----|
| شکل ۲ - ۱۱ ساختار سیم کوانتمومی در جهت X..... | ۵۶ |
| شکل ۲ - ۱۲ مقادیر ویژه انرژی با تغییر ابعاد سیم کوانتمومی..... | ۵۷ |
| شکل ۲ - ۱۳ تابع موج به ازای $nz=ny=1$ (سمت چپ) و $nz=ny=2$ (سمت راست) | ۵۷ |
| شکل ۲ - ۱۴ مقایسه چگالی حالت‌های کوانتمومی برای ساختارهای با ابعاد مختلف..... | ۵۹ |
| شکل ۲ - ۱۵ یک نقطه کوانتمومی خود ساختار یافته به همراه WL | ۶۲ |
| شکل ۲ - ۱۶ تغییرات انرژی لبه نواری، نوارهای رسانش، $E_C(z)$ و ظرفیت، $E_V(z)$ | ۶۳ |
| شکل ۲ - ۱۷ نقطه کوانتمومی مکعبی با ضلعهای L_x, L_y, L_z | ۶۴ |
| شکل ۲ - ۱۸ نقطه کوانتمومی کروی..... | ۶۶ |
| شکل ۲ - ۱۹ چگالی حالات مربوط به یک نقطه کوانتمومی کوپل شده به الکترود فلزی | ۶۸ |
| شکل ۲ - ۲۰ مقادیر محاسبه شده قطبش پیزوالکتریک و بار القا شده در سطح مشترک | ۷۲ |
| شکل ۲ - ۲۱ مقادیر میدان پیزوالکتریک به صورت تابعی از غلظت آلمینیوم در چاه کوانتمومی | ۷۳ |
| شکل ۲ - ۲۲ مقایسه انرژی الکترون در ساختار یک اتم، دو اتم و کریستال..... | ۷۴ |
| شکل ۲ - ۲۳ تقریب انرژی پتانسیل الکترون در درون کریستال با توابع پله‌ای..... | ۷۵ |
| شکل ۲ - ۲۴ نمودار E به صورت تابعی از x_0 | ۷۶ |
| شکل ۲ - ۲۵ نمودار انرژی بر حسب عدد موج، برای ساختاریک بعدی..... | ۷۶ |
| شکل ۲ - ۲۶ نمودار انرژی بر حسب عدد موج در حالت کلی..... | ۷۷ |
| شکل ۲ - ۲۷ نمودار توزیع لورنین برای مقادیر مختلف x_0 | ۸۲ |
| شکل ۲ - ۲۸ بهره‌ی هدایت نوری و بازده کوانتمومی بر حسب تعداد لایه‌های نقاط کوانتمومی | ۹۱ |
| شکل ۳-۱(الف) ساختار باندی ناشی از تزریق نانو ذره سیلیکون در لایه اکسید SiO_2 | ۹۶ |
| شکل ۳-۱(ب) تابع موج دو بعدی حالت پایه | ۹۶ |
| شکل ۳-۱(ج) تابع موج هرمی شکل | ۹۶ |
| شکل ۳-۲ پنج تابع موج برای پنج تراز تحریک اول در نقطه کوانتمومی کروی سیلیکون به شعاع ۱ نانو متر..... | ۹۸ |
| شکل ۳-۳ پنج تابع موج دو بعدی برای پنج تراز تحریک اول در نقطه کوانتمومی کروی سیلیکون به شعاع ۱ نانو متر..... | ۹۸ |
| شکل ۳-۴ بیست مقدار اول تراز انرژی در باند هدایت (X) و باند ظرفیت (حفره سنگین)..... | ۹۹ |
| شکل ۳-۵ ساختار Al/Si/Silicon quantum dots array in silicon oxide layer/P-Si..... | |

| | |
|---|--|
| ۱۰۰ | |
| شکل ۳-۶ ساختار باندی آرایه ای از نقاط کوانتومی کروی سیلیکون با شعاع ۲ نانو متر در لایه اکسید SiO ₂ | |
| (الف) باند هدایت (X)، (ب) باند ظرفیت (حفره سنگین) ۱۰۰ | |
| شکل ۳-۷ لبه باند هدایت و ظرفیت در جهت محور X ۱۰۱ | |
| شکل ۳-۸ (الف) تابع موج دو بعدی تراز حالت پایه برای آرایه ای از نقاط کوانتومی کروی سیلیکون به شعاع ۲ نانو متر در لایه اکسید SiO ₂ (ب) تابع موج همین ساختار در جهت محور X ۱۰۱ | |
| شکل ۳-۹ ترازهای انرژی بر حسب تعداد مقادیر ویژه ۱۰۲ | |
| شکل ۳-۱۰ توابع موج دو بعدی چهارده تراز تحریک اول برای آرایه ای از نقاط کوانتومی کروی سیلیکون به شعاع ۲ نانو متر در لایه اکسید SiO ₂ ۱۰۴ | |
| شکل ۳-۱۱ توابع موج در جهت محور X ۱۰۵ | |
| شکل ۳-۱۲ ناحیه (I) کانتکت های الکتریکی و ناحیه (II) آرایه نقطه کوانتومی ۱۰۷ | |
| شکل ۳-۱۳ (الف) آرایه دو بعدی از نقطه کوانتومی سیلیکون، شامل ۴ نقطه کوانتومی بدون ناراستی (ب) رسانایی بر حسب انرژی در ولتاژ بایاس صفر ۱۰۹ | |
| شکل ۳-۱۴ (الف) آرایه دو بعدی از نقاط کوانتومی سیلیکون با ناراستی مرکزی (حالت متقارن) (ب) و (ج) به ترتیب نمودار رسانایی بر حسب انرژی با ارتفاع ناراستی ۳ الکترون ولت ۱۱۱ | |
| شکل ۳-۱۵ (الف) آرایه دو بعدی از نقاط کوانتومی شامل ۳ نقطه کوانتومی با ناراستی مرکزی و یک نقطه کوانتومی بدون ناراستی (حالت نامتقارن) (ب) و (ج) به ترتیب نمودار رسانایی بر حسب انرژی با ارتفاع ناراستی ۱/۴۸ الکترون ولت و با ارتفاع ناراستی ۳ الکترون ولت ۱۱۲ | |
| شکل ۳-۱۶ (الف) آرایه دو بعدی از نقاط کوانتومی شامل ۲ نقطه کوانتومی با ناراستی مرکزی و ۲ نقطه کوانتومی بدون ناراستی (حالت نامتقارن) (ب) و (ج) به ترتیب نمودار رسانایی بر حسب انرژی با ارتفاع ناراستی ۱/۴۸ الکترون ولت و با ارتفاع ناراستی ۳ الکترون ولت ۱۱۴ | |
| شکل ۳-۱۷ (الف) آرایه دو بعدی از نقاط کوانتومی شامل ۲ نقطه کوانتومی با ناراستی مرکزی و ۲ نقطه کوانتومی بدون ناراستی (حالت نامتقارن) (ب) و (ج) به ترتیب نمودار رسانایی بر حسب انرژی با ارتفاع ناراستی ۱/۴۸ الکترون ولت و با ارتفاع ناراستی ۳ الکترون ولت ۱۱۵ | |
| شکل ۳-۱۸ (الف) آرایه دو بعدی از نقاط کوانتومی شامل ۱ نقطه کوانتومی با ناراستی مرکزی و ۳ نقطه کوانتومی بدون ناراستی (حالت نامتقارن) (ب) و (ج) به ترتیب نمودار رسانایی بر حسب انرژی با ارتفاع ناراستی | |

| | | |
|---|----------|---|
| ۱۱۷..... | ۱/۴۸ | الکترون ولت و با ارتفاع ناراستی ۳ الکترون ولت |
| شکل ۳-۱۹ (الف) آرایه دوبعدی از نقاط کوانتموی بدون ناراستی.(ب) و (ج) و (د) آرایه دوبعدی از نقاط کوانتموی با اندازه متفاوتی از ناراستی(ارتفاع ناراستی ۳ الکترون ولت) | ۱۱۷..... | |
| شکل ۳- ۲۰ (الف) نمودار رسانایی بر حسب انرژی برای آرایه ای از نقاط کوانتموی بدون ناراستی در بایاس صفر (ب) و (ج) و(د) نمودار رسانایی بر حسب انرژی برای آرایه ای از نقاط کوانتموی با اندازه متفاوت از ناراستی (ارتفاع ناراستی ۳ الکترون ولت) | ۱۱۸..... | |
| شکل ۳- ۲۱ ضریب جذب بین باندی بر حسب انرژی فوتون در آرایه ای از نقاط کوانتموی کروی سیلیکون با شعاع های متفاوت در ماتریس اکسید SiO_2 | ۱۲۰..... | |

فهرست جداول

| | |
|--|-----------|
| عنوان..... | صفحه |
| جدول ۱- ۱ تقسیم بندی پرتو فرابینفس بر اساس طول موج..... | ۱۶ |
| جدول ۱-۲ مقادیر تابع کار برای برخی فلزات | ۱۸..... |
| جدول ۳- ۱ پارامترهای ساختاری و ماده‌ای به کار رفته در شبیه‌سازی آشکارساز | ۹۵ |
| جدول ۳- ۲ شش مقدار اول تراز تحریک برای نقطه کوانتموی کروی سیلیکون به شعاع ۱ نانو متر | ۹۷..... |
| جدول ۳- ۳ پانزده مقدار ویژه انرژی اول تراز تحریک برای این ساختار کوانتموی | ۱۰۲ |

مقدمه

امواج الکترومغناطیسی در سراسر محیط اطراف ما پخش شده‌اند. این امواج شامل طول موج‌های فرابنفش تا رادیویی می‌باشد. چشم انسان تنها قادر است بازه‌ی نور مرئی را که در رنج طول موج ۳۹۰ تا ۷۶۰ نانومتر قرار دارد، ببیند. برای آشکار کردن بقیه‌ی محدوده‌ی طول موجی احتیاج به آشکارساز می‌باشد. با پیشرفت صنعت، استفاده از امواج فرابنفش که در محدوده‌ی طول موج ۱۰ تا ۳۹۰ نانومتر قرار دارند روزبه‌روز افزایش می‌یابد. از جمله این کاربردها می‌توان به صنعت الکترونیک اشاره کرد که در آن از پرتو فرابنفش برای لیتوگرافی در ساخت قطعات الکترونیکی استفاده می‌شود. همچنین در صنعت پزشکی برای بررسی ساختار پروتئین‌ها و همچنین ساختار DNA استفاده می‌شود و یا در صنایع نظامی که از پرتوهای فرابنفش برای ردیابی موشک‌ها و هواپیماها در عملیات نظامی استفاده می‌شود.

در عمل به آشکارسازهای احتیاج داریم که دارای دقت لازم بوده و نیاز انسان را تامین کنند. آشکارسازهای نوری قطعاتی هستند که امواج الکترومغناطیسی مورد نظر را به جریان الکتریکی یا گرما تبدیل می‌کنند و دارای انواع مختلفی هستند که هر یک معاوی و مزیت‌هایی را دارند. از آن جمله می‌توان به نور رساناها^۱، پیوندهای p-n-i^۲، فتودیود اثربهمنی^۳ و آشکارساز نوری مبتنی بر پیوند فلز-اکسید-نیمه هادی^۴ اشاره کرد. با گذشت زمان رفته‌رفته آشکارسازهای جدیدی ساخته شده است که کارایی آنها با استفاده از ساختارهای کوانتمی ارتقاء داده شده است.

برای ارزیابی آشکارسازها پارامترهایی وجود دارد که به کمک این پارامترها می‌توان کارایی آشکارساز را بررسی کرد. از جمله این پارامترها می‌توان به ضریب جذب بهره‌ی کوانتمی^۵، پاسخ طیفی و نسبت سیگنال به نویز اشاره کرد. با محاسبه بهره کوانتمی می‌توان نسبت حامل‌های الکتریکی تولید شده به فوتون‌های ورودی را بدست آورد که به صورت تابعی از طول موج امواج ورودی می‌باشد. با پیدا کردن پاسخ‌دهی می‌توان نسبت خروجی اعم از جریان یا ولتاژ را به ورودی بدست آورد. در پاسخ طیفی هم نسبت خروجی به ورودی را در طول موج‌های مختلف به دست می‌آوریم. و با استفاده از نتایج این داده‌ها در مورد آشکارساز اظهار نظر

¹ Photoconductor

² Avalanche photodetector

³ Metal-Oxide-Semiconductor

⁴ Quantum efficiency

⁵ Responsivity

می‌کنیم. البته تقریباً آشکارسازی یافت نمی‌شود که دارای ویژگی‌های بهینه باشد. به طور مثال اگر بخواهیم سرعت یک آشکارساز را بالا ببریم، ممکن است میزان پاسخ‌دهی کاهش یابد. در این پایان‌نامه سعی شده که این پارامترها را برای ساختارهای سیلیکونی بررسی کنیم. طرح کلی این پایان‌نامه را می‌توان به سه قسمت تقسیم کرد.

در فصل اول به تاریخچه کشف پرتو فرابنفش و سیر تکاملی آشکارسازها می‌پردازیم، انواع کلی آشکارسازها معرفی شده و محسن و معایب هر کدام با یکدیگر مقایسه شده است. هم‌چنین مواد رایج در ساخت آشکارسازهای فرابنفش معرفی شده‌اند. در ادامه‌ی فصل، دو نمونه از آشکارسازهای سیلیکونی ساخته شده ارائه شده و نتایج به‌دست آمده از هریک مورد تحلیل قرار گرفته است. این نتایج به عنوان مقدمه‌ای جهت بیان جهت‌گیری ما در فصول بعدی مورد استفاده قرار گرفته‌اند. همچنین، تونلینگ کوانتمومی و اثر کلومب بلاکت روی نانو ذرات سیلیکون در لایه¹ SRO بررسی شده است.

در فصل دوم، پس از یک مرور اجمالی بر مبانی فیزیکی اولیه اقدام به شبیه سازی ساختار آشکارساز مورد نظر می‌کنیم. این فصل را با معرفی معادله‌ی شرویدینگر و پواسون و نیز ارائه‌ی یک روش عددی جهت حل خودسازگار این دو معادله ادامه می‌دهیم. پس از آن پروسه‌ی انتقال حامل‌ها از درون ساختار را با کلیه‌ی جزئیات مورد بررسی قرار داده و معادلات مورد نیاز را استخراج می‌کنیم.

در فصل سوم در ابتدا ساختاربندی آشکارساز سیلیکونی مورد نظر را شبیه‌سازی می‌کنیم. با استفاده از این شکل، کلیه‌ی پارامترهای استفاده شده در معادلات حاکم بر ساختار معرفی می‌شوند. در ادامه با استفاده از روش ماتریس انتقال دو بعدی منحنی رسانایی را در بایاس صفر به دست می‌آوریم و اثر اندازه، شکل و ارتفاع ناراستی مرکزی را روی منحنی رسانایی در بایاس صفر را به صورت کامل بررسی می‌کنیم و در پایان ضریب جذب بین بندی را برای این ساختار به ازای شعاع‌های متفاوت از نقاط کوانتمومی بر حسب انرژی فوتون به دست می‌آوریم.

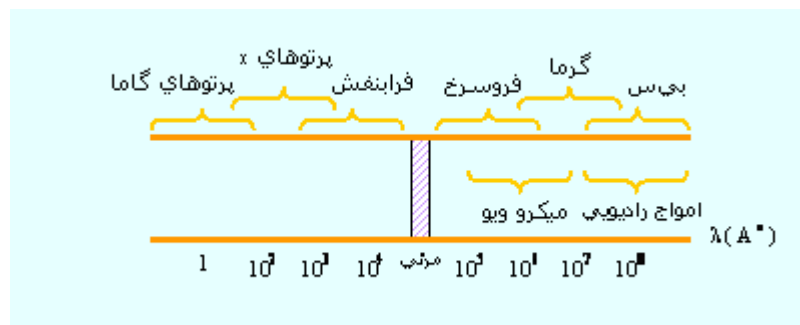
¹ Silicon-rich-oxide

۱ فصل اول

بررسی منابع و پیشینه تحقیق

۱-۱ پرتو فرابنفش

پرتو فرابنفش^۱ جزء امواج الکترومغناطیسی می‌باشد که در طیف فرکانسی مابین نور مرئی و پرتو ایکس قرار دارد. که شامل طول موج مابین ۱۰۰ نانومتر و انرژی ۳ تا ۱۲۴ الکترون ولت می‌باشد. طیف الکترومغناطیسی در شکل ۱-۱ مشاهده می‌شود.



شکل ۱-۱: طیف امواج الکترومغناطیسی

۲-۱ تاریخچه ای بر آشکارسازهای UV

در سال ۱۸۰۱ یک دانشمند آلمانی در طی یک آزمایش مشاهده کرد که نمک های نقره وقتی در معرض نور خورشید قرار می‌گیرند تیره می‌شوند. او پی برد که این پدیده به خاطر پرتوهای نامرئی می‌باشد که در نور خورشید وجود دارد. او این پرتوها را پرتو اکسید کننده نامید [۱]. در سال ۱۸۹۳ یک دانشمند دیگر آلمانی به نام ویکتور شومان^۲ پرتو فرابنفش زیر ۲۰۰ نانومتر را کشف کرد و آن را فرابنفش خلا^۳ نامید. چون این طول موج تنها در شرایط خلا قرار دارد و در اتمسفر زمین به وسیله‌ی عناصر موجود در جو زمین جذب می‌شود [۲].

با گذشت زمان دانشمندان کم کم با ویژگی‌های فرابنفش آشنا شده، و به مزیت‌های اساسی آن نسبت به نور مرئی پی بردند. با گذشت زمان نیاز به آشکارسازی که بتواند این امواج را آشکار کند محسوس شد. در ابتدا بیشتر از آشکارسازهای گرمایی^۴ استفاده می‌شد، اما با گذشت زمان نیاز به آشکارسازهای با سرعت بالا و دقت بهتر بیشتر محسوس شد. پرتو فرابنفش بر اساس طول موج به چندین قسمت تقسیم می‌شود که در جدول (۱-۱) نشان داده شده است [۳].

¹ Ultra violet

² Victor Schumann

³ Vacuum ultraviolet

⁴ Thermal photodetector

جدول ۱-۱: تقسیم‌بندی پرتو فرابنفش بر اساس طول موج

| Name | Abbreviation | Wavelength range in nanometers | Energy per photon |
|------------------------------|--------------|--------------------------------|-------------------|
| Ultraviolet A | UVA | 315-400 | 3/1-3/49 |
| Near | NUV | 300-400 | 3/1-4/43 |
| Ultraviolet B or medium wave | UVB | 280-315 | 3/94-4/43 |
| Middle | MUV | 200-300 | 4/13-6/2 |
| Ultraviolet C | UVC | 100-280 | 4/43-12/14 |
| Far | FUV | 122-200 | 6/2-10/2 |
| Vacuum | VUV | 100-200 | 6/2-12/4 |
| Low | LUV | 88-100 | 12/4-14/1 |
| Super | SUV | 10-150 | 8/24-124 |
| Extreme | EUV | 10-120 | 10/2-124 |

۳-۱ منابع فرابنفش

امواج فرابنفش از نوع UVC,UVB,UVA در نور خورشید وجود دارد. اما در هنگام عبور از لایه‌ی ازن حدود ۹۹ درصد این پرتوها جذب می‌شود. و از ورود آنها به جو زمین جلوگیری می‌شود. ۹۸ درصد از امواج فرابنفش که به سطح زمین میرسد از نوع UVA می‌باشد[4].

لامپ‌های فرابنفش فلورسنت که بدون پوشش فسفری می‌باشند، نوری گسیل می‌کنند که پیک طیف نور ساطع شده در طول موجه‌ای ۲۵۳ و ۱۸۵ نانومتر قرار دارد.

LED های فرابنفش نیز ساخته شده‌اند، که می‌توانند در محدوده طول موج ۳۶۵ نانومتر نور گسیل کنند. اکثر این قطعات از ساختارهای نیتریدی مانند گالیوم‌نیترید^۱ ساخته شده‌اند. همچنین لیزرهای فرابنفش هم ساخته شده، که می‌توانند در طول موجه‌ای ۲۶۲، ۲۶۶، ۳۴۹، ۳۵۱، ۳۵۵ و ۳۷۵ نانومتر نور ساطع کنند و دارای کاربردهای فراوان در صنایع الکترونیک و پزشکی هستند.

۴-۱ کاربردهای امواج فرابنفش

با پیشرفت صنعت، کاربرد امواج فرابنفش رفته رفته بیشتر می‌شود. این کاربردها رابطه‌ی مستقیم با طول موج امواج دارند. در این قسمت به خلاصه‌ای از این کاربردها اشاره می‌شود:

^۱Gallium nitride

- ۱) امواج با طول موج ۱۳ نانومتر، که در الکترونیک و ساخت قطعات نیمه هادی کاربرد دارند، که به عنوان منبع نوری برای لیتوگرافی به کار می روند.
- ۲) امواج با طول موج ۴۰۰-۲۳۰ نانومتر، که به عنوان حسگر نوری در قطعات نوری به کار می روند.
- ۳) امواج با طول موج ۲۸۰-۲۴۰ نانومتر، که برای ضدعفونی در برابر میکروبها به کار می روند.
- ۴) امواج با طول موج ۳۰۰-۲۷۰ نانومتر، که در علوم زیست شناسی و بررسی ساختار DNA به کار می - روند.

یکی دیگر از کاربردهای امواج فرابنفش در علم ستاره شناسی می باشد. از آنجا که دمای بعضی از اجرام آسمانی خیلی زیاد است به همین خاطر در طیف گسیل آنها امواج فرابنفش وجود دارد که از این امواج برای بررسی ساختار این اجرام استفاده می کنند.

آشکارسازهای فرابنفش در سیستم های نظامی هم کاربردهای زیادی دارند. موتور اکثر هواپیماهای جنگی و همچنین موشک ها هنگام سوختن بر اثر بعضی واکنش های شیمیایی امواج فرابنفش تولید می کنند. این امواج در محیط پخش شده و به خاطر طول موج بالا کمتر توسط اتمسفر جذب می شوند. که با استفاده از آشکارسازهای فرابنفش می توان این امواج را آشکار کرده و حملات هوایی را پیش بینی و ردیابی کرد.

در ادامه به تعریف کلی از آشکارساز نوری می پردازیم. آشکارساز نوری وسیله ای برای تبدیل انرژی امواج الکترومغناطیسی به انرژی الکتریکی می باشد.

۱-۵ انواع آشکارسازهای نوری

آشکارسازهای نوری بر اساس کاربرد و طول موج مورد نظر در انواع مختلف ساخته می شود، که هر یک ویژگی های مخصوص خود را دارند. در ادامه به بعضی از آنها اشاره می شود.

۱-۵-۱ آشکارساز خلا^۱

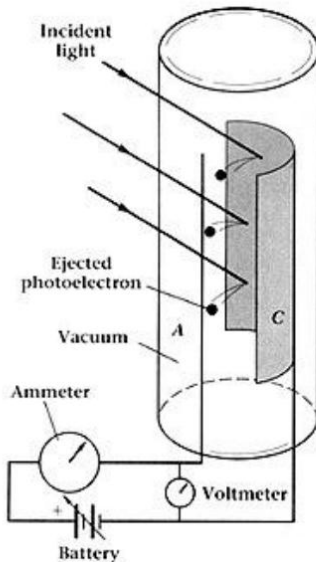
یکی از راه های آشکارسازی پرتوهای فرابنفش استفاده از اثر فتوالکتریک است. همان طوری که می دانیم پدیده فتوالکتریک توسط انسان شناسی شد و به این صورت است که وقتی امواج الکترومغناطیسی با طول موج مناسب به سطح یک فلز بتابد، این امواج، الکترون ها را از سطح فلز جدا می کنند. برای یک فلز مورد نظر اگر طول موج منبع زیاد باشد، هیچ الکترونی جدا نمی شود و ارتباطی به شدت نور ندارد، اما اگر طول موج را

^۱ Vacuum photodetector

کاهش بدھیم در یک طول موج مشخص الکترون‌ها از سطح فلز جدا می‌شود. در جدول زیر به تابع کار^۱ برخی فلزات اشاره شده است و دیده می‌شود که تابع کار اکثر فلزات در محدوده‌ی فرابنفش قرار دارد.

جدول ۱-۲: مقادیر تابع کار برای بعضی فلزات

| فلز | تابع کار (الکترون ولت) |
|--------|---------------------------|
| طلاء | ۵/۱ |
| مس | ۴/۵۶ |
| کروم | ۴/۶ |
| تنگستن | ۴/۵ |
| استیل | ۴/۴ |
| نیکل | ۴/۶ |
| لیتیم | ۲/۹ |



شکل ۱-۲: آشکارساز بر پایه فتوالکتریک [5]

مقدار انرژی که لازم است تا یک الکtron در درون فلز دریافت کند تا بتواند از سطح فلز جدا شود به تابع کار مشهور است. انرژی یک فوتون از رابطه‌ی $E=h\nu$ بدست می‌آید، که در آن h ثابت پلانک و ν فرکانس فوتون می‌باشد. برای آشکارسازی پرتو فرابنفش می‌توان از یک فلز با تابع کار مناسب، متناسب با طول موج مورد

^۱ Work function